

## DEPENDÊNCIA ANGULAR E ENERGÉTICA DE DOSÍMETROS FOTOGRÁFICOS PARA A RADIACÃO BETA

Maura V. Barbosa e Linda V.E. Caldas

Instituto de Pesquisas Energéticas e Nucleares  
Comissão Nacional de Energia Nuclear - São Paulo

### RESUMO

Os dosímetros fotográficos (Agfa-Gevaert) utilizados em monitoração individual no IPEN foram estudados quanto à dependência angular entre 0 e 180° e energética, quando expostos à radiação beta. A resposta dos dosímetros foi comparada com e sem a presença do porta-dosímetro e de material retroespelhador.

### INTRODUÇÃO

A dosimetria da radiação beta vem merecendo atenção especial desde 1979. Uma série de eventos internacionais nos Estados Unidos da América e na Europa, como programas de intercomparações, congressos e simpósios, ocorreram recentemente. Nestes encontros de pesquisadores muito foi discutido sobre detectores eletrônicos e termoluminescentes, mas relativamente pouco em relação aos dosímetros fotográficos.

No presente trabalho os dosímetros fotográficos utilizados em monitoração individual no IPEN foram estudados quanto à dependência angular e energética, quando expostos à radiação beta.

### PARTE EXPERIMENTAL

Foram utilizados: filmes Agfa-Gevaert, modelos Struturix D<sub>2</sub> e D<sub>10</sub>; revelador Agfa-Gevaert, Struturix G 127, Bélgica; paralisador preparado no IPEN (28% de ácido acético glacial); fixador Agfa-Gevaert, Struturix G 321, Bélgica. O densitômetro Macbeth-Ansco (TD 504), E.U.A., permitiu as medidas de densidade óptica.

O sistema padrão secundário de radiação beta do Laboratório de Calibração do IPEN, constituído pelas fontes de <sup>90</sup>Sr + <sup>90</sup>Y (1,85 GBq e 74 MBq), <sup>204</sup>Tl (18,5 MBq) e <sup>147</sup>Pm (518 MBq), foi utilizado para as irradiações.

Os filmes foram irradiados com e sem porta-dosímetro, e ainda com a utilização de material retroespelhador (Lucite, espessura de 1,6 cm), no caso da determinação da dependência energética. Somente no caso da fonte de <sup>90</sup>Sr + <sup>90</sup>Y foi estudada a dependência angular nestes três casos à distância de 30 cm. Para as fontes de <sup>204</sup>Tl e <sup>147</sup>Pm a dependência angular foi determinada sem a utilização de porta-dosímetro e de material retroespelhador, onde os filmes foram irradiados à distância de 13 cm das fontes.

### RESULTADOS

A dependência angular dos filmes dosimétricos com porta-dosímetro é de 20% entre 0 e 60° (Fig. 1), enquanto que a resposta medida sem a presença do porta-dosímetro é de 15% e com material retroespelhador, de apenas 10%, no mesmo intervalo de ângulo de incidência da radiação de <sup>90</sup>Sr + <sup>90</sup>Y.

No caso da resposta dos filmes dosimétricos sem material retroespelhador e sem porta-dosímetro a diferentes energias de radiação beta, a dependência angular apresentou-se entre 15 e 20% no intervalo de 0 a 60° de incidência de radiação (Fig. 2).

A importância do estudo da dependência energética no caso de radiação beta fica evidente pela Fig. 3. A dependência energética mais baixa entre os casos de filmes dosimétricos foi quando utilizado material retroespelhador, como esperado. Nesta figura foram também registrados para comparação as respostas da câmera de extração<sup>(1)</sup>, que é o sistema detector de radiação beta de referência, e dos dosímetros termoluminescentes finos produzidos pelo IPEN<sup>(2)</sup>.

## CONCLUSÕES

A dependência angular é marcante. Tem-se que levá-la em consideração na utilização dos detectores fotográficos em dosimetria beta. O material retroespelhador, substituindo o corpo do usuário do dosímetro, diminui a dependência angular.

## REFERÊNCIAS

1. Caldas, L.V.E., Appl. Radiat. Isot. 37 (9), 988 (1986).
2. Campos, L.L. and Lima, M.F., Radiat. Prot. Dosim. 18 (3), (1987).

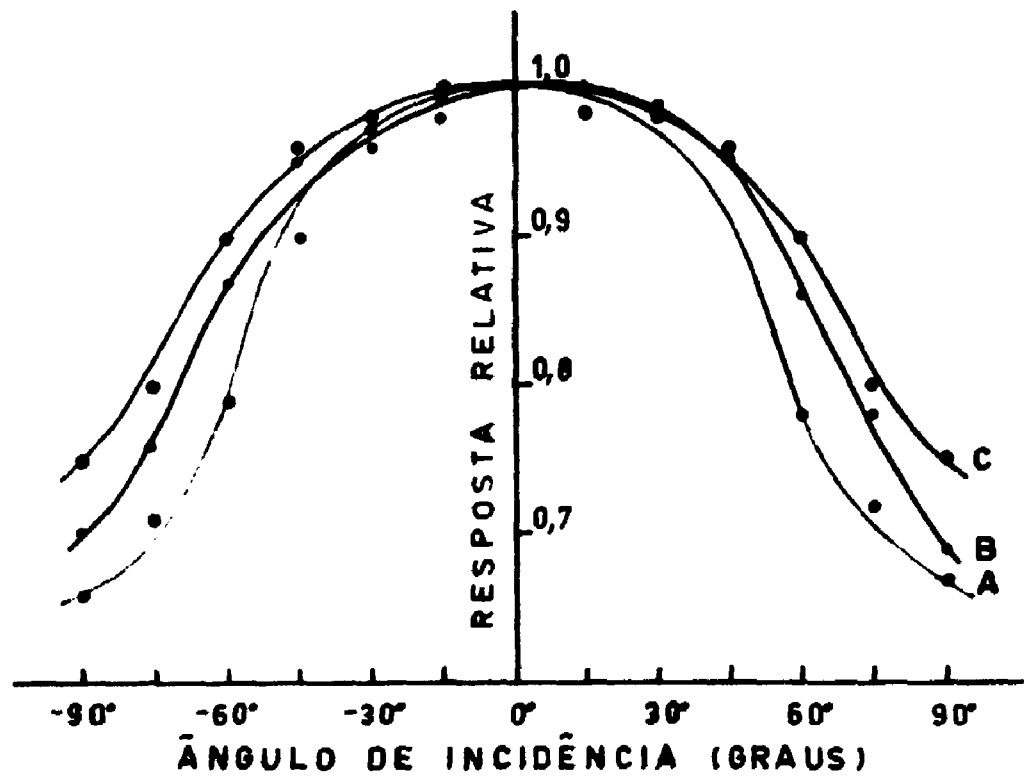


Fig. 1 - Dependência angular da resposta de dosímetros fotográficos expostos à radiação beta de  $^{90}\text{Sr} + ^{90}\text{Y}$ ;  
 A. filme dentro de porta-dosímetro (medida feita na posição de janela aberta);  
 B. filme sem porta-dosímetro;  
 C. filme sem porta-dosímetro, à frente de material retroespelhador.

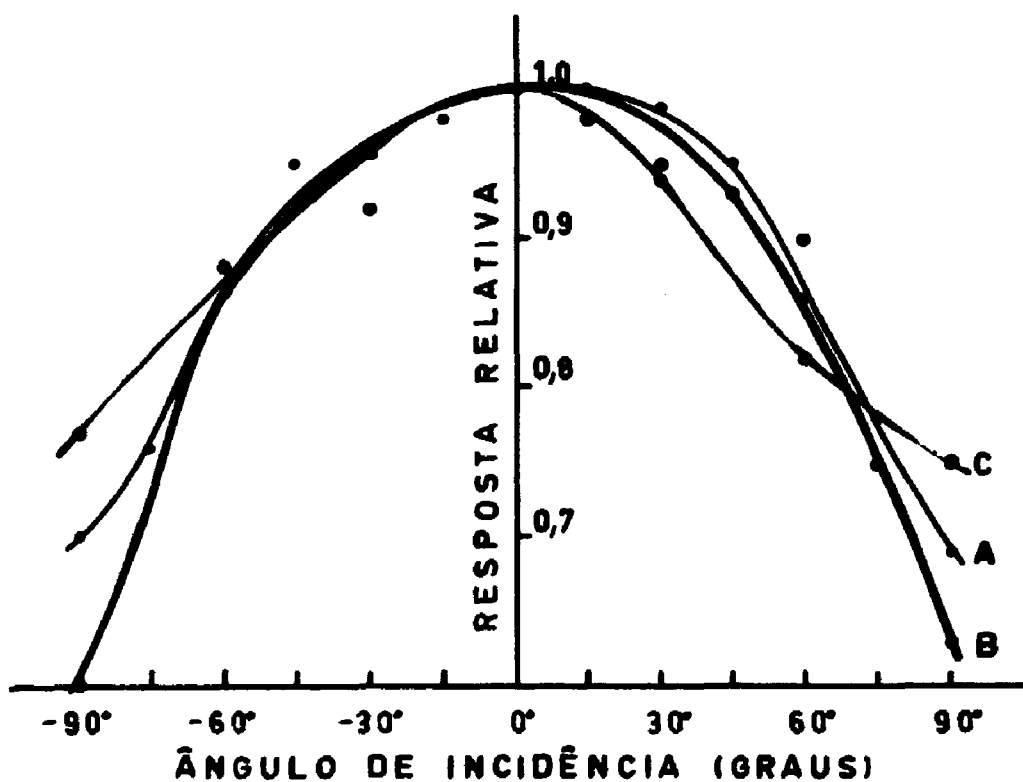
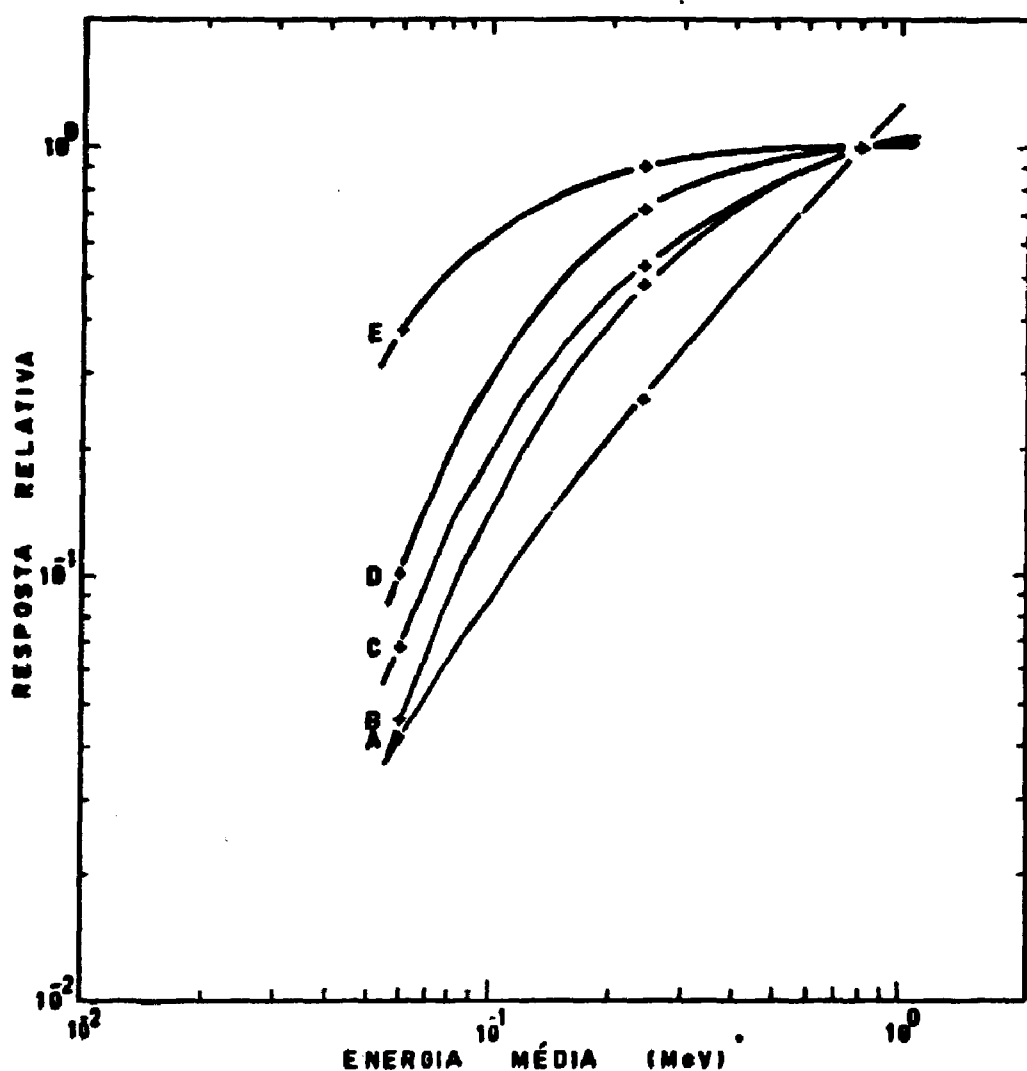


Fig. 2 - Dependência angular da resposta de filmes dosimétricos expostos à radiação beta de:

- A.  $^{90}\text{Sr} + ^{90}\text{Y}$
- B.  $^{204}\text{Tl}$
- C.  $^{147}\text{Pm}$



**Fig. 3 - Dependência energética de detectores com a energia média da radiação beta.**

- A - filme dentro de porta-dosímetro (medida feita na posição de janela aberta);
- B - filme sem porta-dosímetro;
- C - filme sem porta-dosímetro, à frente de material retroespelhador;
- D - dosímetro termoluminescente de  $\text{CaSO}_4:\text{Dy} + \text{Teflon}^{(1)}$ ;
- E - câmara de extração PTW.<sup>(1)</sup>